

СИНТЕЗ И СВОЙСТВА
НЕОРГАНИЧЕСКИХ СОЕДИНЕНИЙ

УДК 546.74:546.24:546.02

“УХОДЯЩАЯ СВЕРХСТРУКТУРА”: КРИСТАЛЛИЧЕСКОЕ СТРОЕНИЕ
И ЛОКАЛЬНАЯ СТРУКТУРА $\text{Ni}_{3-x}\text{MTe}_2$ (M = Sb, Sn)

© 2023 г. Е. А. Строганова^a, С. М. Казаков^a,
П. Б. Фабричный^a, М. И. Афанасов^a, А. Н. Кузнецов^a, *

^aМосковский государственный университет имени М. В. Ломоносова,
Химический факультет, Ленинские горы, 1, Москва, 119991 Россия

*e-mail: alexei@inorg.chem.msu.ru

Поступила в редакцию 19.07.2023 г.

После доработки 21.08.2023 г.

Принята к публикации 27.08.2023 г.

Высокотемпературным ампульным синтезом получены серии соединений $\text{Ni}_{3-x}\text{MTe}_2$ (M = Sb, Sn; $x = 0\text{--}1$), которые охарактеризованы методами порошковой рентгеновской дифракции и мессбауэровской спектроскопии на ядрах ^{121}Sb и ^{119}Sn . Показано, что для $\text{Ni}_{3-x}\text{SnTe}_2$ никель при изменении x от 1 до 0 распределяется по трем возможным позициям, две из которых дают суммарную заселенность, равную 1, и имеют упорядоченные вакансии, в то время как для $\text{Ni}_{3-x}\text{SbTe}_2$ при x , отличном от $\sim 0.9\text{--}1.0$, упорядочение вакансий пропадает. Установлена температурная зависимость наличия или отсутствия упорядочения вакансий для Ni_2SbTe_2 , которое пропадает при нагреве выше 600°C и вновь наблюдается при охлаждении.

Ключевые слова: слоистые фазы, теллуриды никеля, гетерометаллические связи, твердофазный синтез, порошковая дифракция, мессбауэровская спектроскопия

DOI: 10.31857/S0044457X23601529, **EDN:** RJZGNB

ВВЕДЕНИЕ

В последнее время особое внимание привлекают интерметаллические соединения и их производные с низкоразмерной, в особенности слоистой структурой, которая образуется за счет чередования двумерных гетерометаллических фрагментов, зачастую разделенных ван-дер-ваальсовой щелью. Данная особенность кристаллического строения позволяет создавать двумерные (2D) материалы со свойствами, которые часто сильно отличаются от свойств объемных материалов (3D).

В литературе описано большое разнообразие квазидвумерных соединений с гетерометаллическими связями, в том числе со связями никеля-*p*-металлов 13–15 групп. Известно, что никель способен образовывать два типа квазидвумерных соединений с гетерометаллическими связями. Первый тип – блочные халькогениды никеля-*p*-металлов, второй – слоистые соединения, которые представлены семейством теллуридов никеля-*p*-металлов 13–15 групп.

На данный момент известны и охарактеризованы 22 представителя блочных халькогенидов никеля-*p*-металлов со стехиometрией $\text{Ni}_{7-x}\text{MCh}_2$ и $\text{Ni}_{10-x}\text{M}_2\text{Ch}_2$, где M = Al, Ga, In, Si, Ge, Sn, Sb и Ch = S, Se, Te [1–11].

Все вышеперечисленные соединения кристаллизуются в тетрагональной сингонии в пр. гр. $I4/mmm$, $Z = 2$. Данные соединения можно рассматривать как структуры линейного срастания фрагментов двух типов: гетерометаллического и никель-халькогенидного блоков. Гетерометаллический блок состава $_{\infty}^2[\text{Ni}_5\text{M}]$ имеет структуру тетрагонально искаженного AuCu_3 в виде кубооктаэдра из никеля, центрированного атомом непереходного металла, в то время как никель-халькогенидный блок $_{\infty}^2[\text{Ni}_x\text{Ch}_2]$ имеет структуру типа антифлюорита Li_2O или структуру искаженного NaCl , которую также можно описывать как структуру дефектного Cu_2Sb . Гетерометаллические блоки образуют слои в плоскости *ab*, а никель-халькогенидные слои чередуются с ними вдоль оси *c*, что позволяет рассматривать данную структуру как квазидвумерную.

Второй тип квазидвумерных соединений со связями никель-*p*-металл – это семейство смешанных теллуридов никеля-*p*-металла, имеющих слоистую структуру и состав $\text{Ni}_{3-x}\text{MTe}_2$, где M = Ga, In, Ge, Sn, Sb и $0 \leq x \leq 1$ [13–20]. Все эти соединения кристаллизуются в гексагональной сингонии и пр. гр. $P6_3/mmc$ и $Z = 2$, кроме $\text{Ni}_{2.58}\text{SnTe}_2$, структура которого описана в группе $P1c$, что связано с проявлением сверхструктуры. Структура слоистых

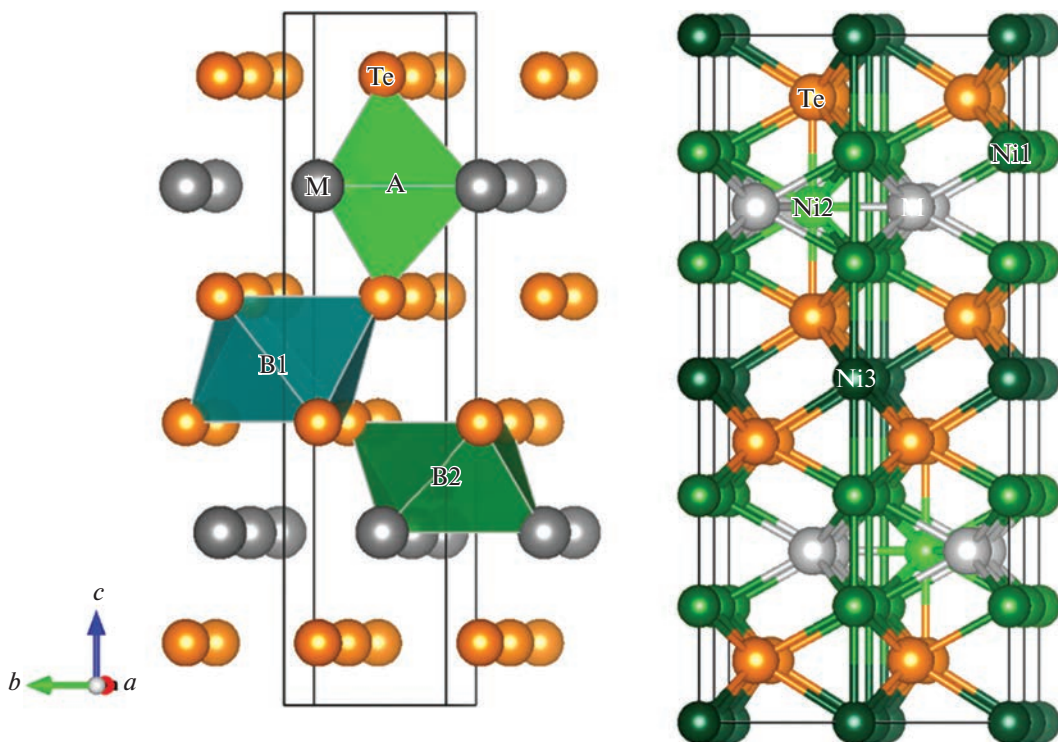


Рис. 1. Структура $\text{Ni}_{3-x}\text{MTe}_2$: А — тригонально-бипирамидальная пустота (позиция Ni(2)), В1 (позиция Ni(3)) и В2 (позиция Ni(1)) — октаэдрические пустоты (слева атомы Ni опущены, справа атомы Ni указаны).

стых соединений является производной от комбинации структурного типа NiAs и структурного типа Ni_2In . Она основана на двумерно-бесконечных гетерометаллических фрагментах, ограниченных атомами теллура вдоль оси c , которые, в свою очередь, посредством слабых взаимодействий Te—Te образуют ван-дер-ваальсову щель.

Структура данных слоистых соединений представляет собой гексагональную плотнейшую упаковку, образованную атомами теллура и p -металлом, при этом атомы Ni располагаются в тригонально-бипирамидальной или октаэдрических пустотах (рис. 1). Первый тип октаэдрических пустот образован только атомами Te (пустота типа В1). Данной пустоте соответствует позиция никеля типа Ni(3), расположенная в ван-дер-ваальсовой щели. Позиция Ni(1) соответствует октаэдрическим пустотам типа В2, образованным тремя атомами Te и тремя атомами p -металла, а позиция Ni(2) соответствует тригонально-бипирамидальной пустоте типа А; обе эти позиции располагаются в гетерометаллическом слое. Стоит отметить, что во всех соединениях состава $\text{Ni}_{3-x}\text{MTe}_2$ позиция Ni(1) полностью заселена атомами никеля, при этом позиции Ni(2) и Ni(3) заселены частично. Степень заселенности Ni(2) и Ni(3) зависит от количества никеля (от x) и типа непереходного металла в структуре $\text{Ni}_{3-x}\text{MTe}_2$ [12–19].

Например, в $\text{Ni}_{3-x}\text{GaTe}_2$ при уменьшении общего содержания никеля внутри ван-дер-ваальсовой щели наблюдается относительно постоянная заселенность позиции Ni(3) (около 25–30%), при этом заселенность позиции Ni(2) внутри гетерометаллического фрагмента уменьшается по мере уменьшения общего содержания никеля (50% — в $\text{Ni}_{2.79}\text{GaTe}_2$, 36% в $\text{Ni}_{2.58}\text{GaTe}_2$), но позиция Ni(2) в $\text{Ni}_{3-x}\text{GaTe}_2$, в отличие от Ni(3), не может быть полностью вакантной [13].

Соединения Ni_3InTe_2 , $\text{Ni}_{3.32}\text{InTe}_2$, $\text{Ni}_{3.12}\text{In}_{0.86}\text{Te}_{2.14}$ несколько отличаются от остальных рассматриваемых теллуридов никеля- p -металлов по стехиометрии, поскольку в теллуридах никеля-индия происходит совместное заселение позиций атомами индия и теллура, но, несмотря на это, они являются родственными семейству $\text{Ni}_{3-x}\text{MTe}_2$. Составы Ni_3InTe_2 , $\text{Ni}_{3.32}\text{InTe}_2$ и $\text{Ni}_{3.12}\text{In}_{0.86}\text{Te}_{2.14}$ можно описать как область твердых растворов между NiTe_2 и Ni_2In с общей формулой $\text{Ni}_{3 \pm x}\text{In}_{1-y}\text{Te}_{2-y}$. В данных фазах преимущественно заселяется позиция Ni(3), при этом при уменьшении общего количества никеля происходит монотонное уменьшение заселенности обеих позиций: и Ni(2), и Ni(3). Для $\text{Ni}_{3.32}\text{InTe}_2$ они равны 0.497 и 0.809, для Ni_3InTe_2 — 0.371 и 0.702 соответственно [14, 15].

Для соединения $\text{Ni}_{3-x}\text{SnTe}_2$ ($x = 0.13$) было показано, что в рамках общего мотива структу-

ры $\text{Ni}_{3-x}\text{MTe}_2$ на основе $\text{NiAs}/\text{Ni}_2\text{In}$ с утроенным параметром c доля последних фрагментов меньше, и большую степень заполнения имеет позиция никеля в ван-дер-ваальсовой щели (заселенность позиции $\text{Ni}(3)$ равна 65.7%, а $\text{Ni}(2) - 26.4\%$) [16]. Количественные оценки заселенности позиций были также даны для $\text{Ni}_{2.58}\text{SnTe}_2$ [17]. Показано, что для данной стехиометрии заселяется только позиция в ван-дер-ваальсовой щели (на 58%), следовательно, фрагменты типа Ni_2In не наблюдаются, что согласуется с преимущественным заселением позиции $\text{Ni}(3)$, и установлено, что при увеличении содержания никеля преимущественно заполняется ван-дер-ваальсова щель. Более поздние исследования серии $\text{Ni}_{3-x}\text{Sn}_{1-y}\text{Te}_2$ методом просвечивающей электронной микроскопии и электронной дифракции показали, что данная структура в зависимости от стехиометрии (главным образом по никелю) может быть как соразмерной с устроением параметра c ячейки по сравнению с NiAs (состав $\text{Ni}_{2.51}\text{Sn}_{0.84}\text{Te}_2$), так и несоразмерной (состав $\text{Ni}_{2.35}\text{Sn}_{0.76}\text{Te}_2$) с вектором модуляции $q = 0.7c^*$ [18]. Заметим также, что соотношение олова и теллура смешено от стандартного 1 : 2 в сторону теллура, но при этом, по-видимому, за счет уменьшения количества олова, хотя авторы и не исключают возможности частичного заселения позиций олова теллуром.

Таким образом, для соединений, содержащих в качестве p -металла индий и олово, преимущественно заполняется ван-дер-ваальсова щель, а в позиция $\text{Ni}(2)$, а в случае галлиевых соединений наблюдается обратная ситуация.

Единственным охарактеризованным представителем слоистых соединений типа $\text{Ni}_{3-x}\text{MTe}_2$, где непереходный металл – это металл 15 группы, на сегодняшний день является Ni_2SbTe_2 (т.е. $\text{Ni}_{3-x}\text{SbTe}_2$ с $x = 1$) [19]. Для образования структуры Ni_2SbTe_2 необходимо удалить каждый третий слой атомов никеля из NiSb и заменить атомы сурьмы на теллур в двух из трех слоев сурьмы, благодаря чему происходит утрение элементарной ячейки вдоль оси c и наблюдается наличие только одной позиции никеля – $\text{Ni}(1)$, а ван-дер-ваальсова щель остается полностью пустой.

Для фаз данного типа обнаруженное упорядочение вакансий в позициях атомов никеля по мере уменьшения его количества дает возможность для направленного внедрения в эти вакансии других элементов, способных модифицировать свойства соединений. В литературе описано интеркалирование $\text{Ni}_{3-x}\text{GaTe}_2$ с помощью LiH [20] и железа [21]. Изучение интеркалирования $\text{Ni}_{3-x}\text{GaTe}_2$ с помощью LiH представляет интерес с точки зрения потенциального применения данных матриц в качестве материалов для литий-ионных аккумуляторов. Изучение внедрения железа в $\text{Ni}_{3-x}\text{GaTe}_2$

показало возможность направленного изменения магнитных свойств соединения. Данные магнитных измерений показывают переход от параметризма Паули, характерного для $\text{Ni}_{3-x}\text{GaTe}_2$, к низкотемпературному ферромагнитному упорядочению для $\text{Ni}_{3-x}\text{Fe}_x\text{GaTe}_2$, возникновение которого можно связать с упорядоченным расположением железа в структуре [21].

В настоящей работе мы сообщаем о синтезе, кристаллическом строении, а также о локальной структуре новых представителей слоистых соединений типа $\text{Ni}_{3-x}\text{SbTe}_2$, сравнении локальных структур $\text{Ni}_{3-x}\text{SbTe}_2$ и $\text{Ni}_{3-x}\text{SnTe}_2$ и исследовании проявления упорядочения вакансий в $\text{Ni}_{3-x}\text{SbTe}_2$.

ЭКСПЕРИМЕНТАЛЬНАЯ ЧАСТЬ

В качестве исходных веществ использовали: никель (порошок, 99.98%), сурьму (порошок, 99.99%), олово (порошок, 99.99%), теллур (порошок, 99.999%). Никель предварительно прокаливали в течение нескольких часов при 550°C в токе сухого водорода хроматографической чистоты для восстановления оксидного слоя. Синтез всех теллуридов никеля- p -металла проводили по стандартной высокотемпературной ампульной методике. Стехиометрические смеси исходных простых веществ помещали в прокаленные кварцевые ампулы диаметром 8–15 мм и длиной 50–100 мм, которые затем вакуумировали до остаточного давления $(5-10) \times 10^{-3}$ мм рт. ст., отпаивали в пламени кислородной горелки и отжигали в печах 7 сут при 450, 550, 750°C ($\pm 2^\circ\text{C}$) в зависимости от состава (табл. 1).

Уточнение кристаллических структур соединений по данным порошковой дифракции, полученным с помощью порошковых дифрактометров Bruker D8 Advance и Aeris (Panalytical) с геометрией съемки на отражение, без монохроматора (съемку осуществляли в режиме постоянного вращения образца, $\text{Cu}K_{\alpha 1,2}$ -излучение, $\lambda = 1.54178 \text{ \AA}$), проводили полнопрофильным методом Ритвельда, реализованным в пакете программ “TOPAS” версия 4.2 [22].

Порошковую *in situ* дифракцию проводили в диапазоне температур 26–550°C с использованием рентгеновского порошкового дифрактометра высокого разрешения Rigaku SmartLab с двумерным полупроводниковым детектором HyPix-3000 с $\text{Cu}K_\alpha$ -излучением. Вклад $\text{Cu}K_\beta$ удаляли с помощью никелевого фильтра. Измерения проводили в камере высокотемпературной печи Anton Paar HTK 1200N.

Мессбауэровские спектры ^{121}Sb и ^{119}Sn получали на спектрометре Ms-1104Em с источником $\text{Ca}^{121m}\text{SnO}_3$ и $\text{Ca}^{119m}\text{SnO}_3$ соответственно. Измерения на ядрах ^{121}Sb выполняли при температуре источника и исследуемого образца $T_s = T_a = 100 \text{ K}$;

Таблица 1. Заложенные составы и условия отжига образцов в системах Ni–Sb–Te, Ni–Fe–Sb–Te, Ni–Sn–Te

Заложенная стехиометрия	Режим отжига
Ni_3SbTe_2	
$\text{Ni}_{2.85}\text{SbTe}_2$	
$\text{Ni}_{2.75}\text{SbTe}_2$	1 отжиг: $T = 750^\circ\text{C}$, $t = 180$ ч
$\text{Ni}_{2.5}\text{SbTe}_2$	2 отжиг: $T = 750^\circ\text{C}$, $t = 180$ ч
$\text{Ni}_{2.25}\text{SbTe}_2$	3 отжиг: $T = 450^\circ\text{C}$, $t = 180$ ч
$\text{Ni}_{2.1}\text{SbTe}_2$	
Ni_2SbTe_2	
$\text{Ni}_2\text{Fe}_{0.2}\text{SbTe}_2$	1 и 2 отжиг: $T = 550^\circ\text{C}$, $t = 180$ ч
Ni_2SnTe_2	
$\text{Ni}_{2.5}\text{SnTe}_2$	
$\text{Ni}_{2.6}\text{SnTe}_2$	1 отжиг: $T = 750^\circ\text{C}$, $t = 180$ ч
$\text{Ni}_{2.7}\text{SnTe}_2$	
$\text{Ni}_{2.8}\text{SnTe}_2$	
Ni_3SnTe_2	

измерения на ядрах ^{119}Sn проводили при комнатной температуре. Для обработки и анализа мессбауэровских спектров использовали методы модельной расшифровки (программа “SPECTR” [23–27]) и восстановления функций распределения сверхтонких параметров парциальных спектров (программа “DISTRI” [27]).

Таблица 2. Параметры элементарных ячеек тройных фаз $\text{Ni}_{3-x}\text{MTe}_2$ ($\text{M} = \text{Sb}, \text{Sn}$) по данным индицирования рентгенограмм (после третьего отжига)

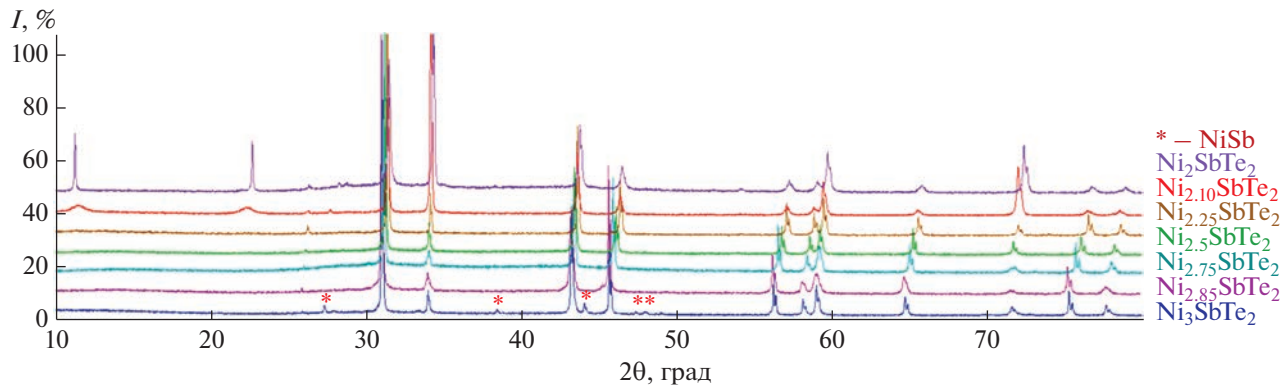
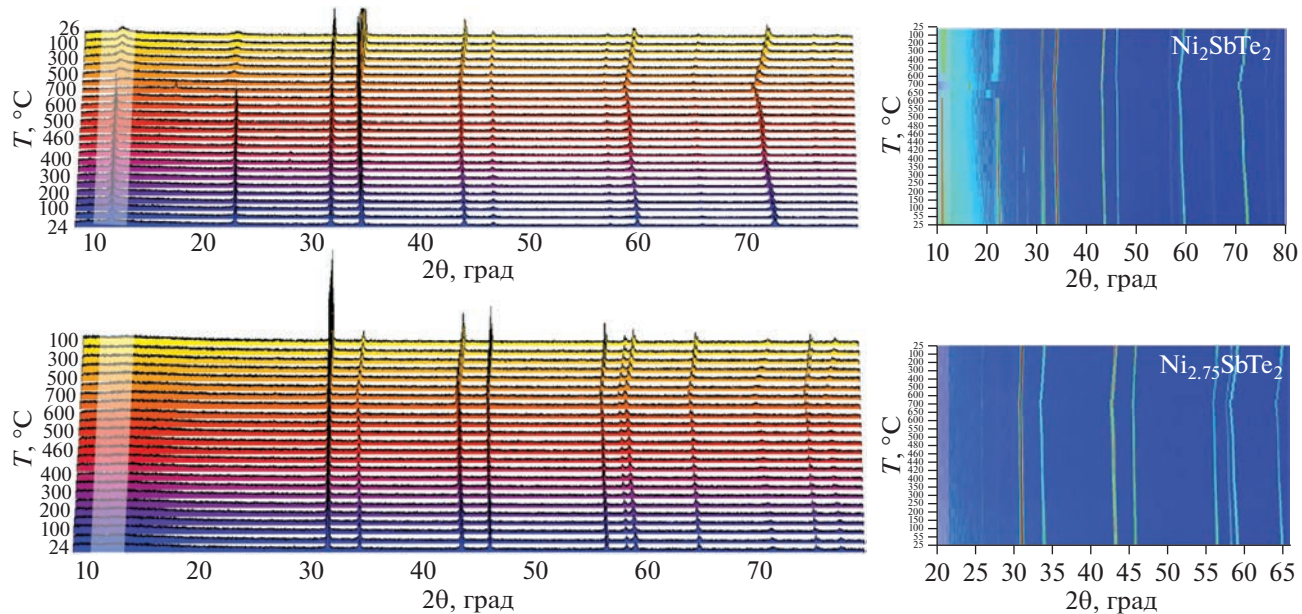
Заложенный состав	$a, \text{\AA}$	$c, \text{\AA}$	$V, \text{\AA}^3$
Ni_3SbTe_2	3.9696(1)	5.2692(1)	71.905(3)
$\text{Ni}_{2.85}\text{SbTe}_2$	3.9742(5)	5.2724(6)	72.12(1)
$\text{Ni}_{2.75}\text{SbTe}_2$	3.9529(8)	5.2583(1)	71.16(1)
$\text{Ni}_{2.5}\text{SbTe}_2$	3.9280(1)	5.2518(1)	70.17(2)
$\text{Ni}_{2.25}\text{SbTe}_2$	3.9114(2)	5.2418(2)	69.451(4)
$\text{Ni}_{2.1}\text{SbTe}_2$	3.9169(9)	15.738(9)	209.1(1)
Ni_2SbTe_2	3.9048(9)	15.661(3)	206.80(6)
Ni_3SnTe_2	3.9837(9)	15.779(2)	216.90(4)
$\text{Ni}_{2.8}\text{SnTe}_2$	3.970(1)	15.788(5)	215.5(1)
$\text{Ni}_{2.7}\text{SnTe}_2$	3.9709(6)	15.731(4)	214.81(6)
$\text{Ni}_{2.6}\text{SnTe}_2$	3.9479(3)	15.760(1)	212.73(3)
$\text{Ni}_{2.5}\text{SnTe}_2$	3.9417(7)	15.752(4)	211.95(7)
$\text{Ni}_{2.1}\text{SnTe}_2$	3.931(3)	15.773(7)	211.08(7)

РЕЗУЛЬТАТЫ И ОБСУЖДЕНИЕ

В системе Ni–Sb–Te синтезированы однофазные образцы состава $\text{Ni}_{3-x}\text{SbTe}_2$, где $x = 0.15, 0.25, 0.5, 0.75, 0.9, 1.0$, для образца с $x = 0$ обнаружена небольшая примесь NiSb. Рентгенограммы всех образцов были проиндексированы в предположении об изоструктурности ранее полученным слоистым теллуридам никеля-*p*-металла (пр. гр. $P6_3/mmc$) (табл. 2). Установлено, что в системе Ni–Sb–Te наличие сверхструктурных отражений на малых углах, обусловливающих устроение ячейки по *c* относительно простого типа NiAs, наблюдается при содержании никеля в диапазоне $0.9 < x < 0.75$, т.е. для составов $\text{Ni}_{2.1}\text{SbTe}_2$ и $\text{Ni}_{2.25}\text{SbTe}_2$, причем во втором составе сверхструктура выражена очень слабо (рис. 2).

Интересно отметить, что в литературе описан еще один случай отсутствия упорядочения по типу фаз $\text{Ni}_{3-x}\text{MTe}_2$ в родственных системах – это ряд твердых растворов $\text{PdTe}_{1-x}\text{Bi}_x$ ($x < 0.8$), структура которого построена путем статистического замещения атомов Te в структуре PdTe (тип NiAs, гексагональная сингония, пр. гр. $P6_3/mmc$) на атомы Bi [28]. Заселенность позиции *p*-элемента статистическая, как в случае $\text{Ni}_{3-x}\text{SbTe}_2$ ($0 < x < 0.75$). Любопытно, что для платины фазы такого типа не образуются, как не образуется и теллурид со структурой NiAs, зато существует ряд упорядоченных интерметаллидов с никелем [29], тогда как для палладия более характерно наличие твердого раствора.

Рентгенографические данные по серии $\text{Ni}_{3-x}\text{SnTe}_2$ ($x = 0–1$) в целом согласуются с известными литературными сведениями. Все составы, за исключением $x = 0.9–1.0$, получены в ин-

Рис. 2. Рентгенограммы $\text{Ni}_3 - x\text{SbTe}_2$. Звездочкой показана примесь NiSb.Рис. 3. 3D- и 2D-дифрактограммы *in situ* эксперимента Ni_2SbTe_2 (сверху) и $\text{Ni}_{2.75}\text{SbTe}_2$ (снизу).

дивидуальном состоянии по данным порошковой рентгенографии, для указанных значений x , являющихся самыми большими в серии, наблюдалась небольшая примесь SnTe. Образец $\text{Ni}_2\text{Fe}_{0.2}\text{SbTe}_2$ также был неоднофазным и содержал примеси как теллурида олова, так и теллурида железа. Следует отметить, что наличие несоразмерных модуляций для соединений олова, показанное в [18] для составов, обедненных по никелю, не оказalo существенного влияния на индицирование, все рентгенограммы было возможно проиндицировать с уточненным c по отношению к стандартному типу NiAs . По-видимому, это связано со слабым проявлением сверхструктуры для оловянных образцов в данных порошковой рентгенографии, отмеченным в [18].

Очень интересные данные были получены при изучении поведения образцов $\text{Ni}_3 - x\text{SbTe}_2$ при на-

гревании. По данным *in situ* рентгеновской дифракции показано, что на проявление упорядочения, помимо стехиометрии по никелю, также влияет температура, но только в случае Ni_2SbTe_2 (рис. 3). Сверхструктура в Ni_2SbTe_2 исчезает при $T \sim 600^\circ\text{C}$, в то время как для богатых никелем фаз проявлений сверхструктурных отражений нет во всем изученном диапазоне температур. Еще более интересным представляется факт, что сверхструктурные отражения, хотя и уширенные, начинают проявляться снова при охлаждении образца.

Кристаллические структуры $\text{Ni}_3 - x\text{SbTe}_2$ были уточнены полнопрофильным методом Ритвельда по данным порошковой дифракции. В качестве моделей для уточнения структур были использованы модель ячейки NiAs и структура Ni_2SbTe_2 , определенная ранее по данным монокристальной рентгеновской дифракции [19]. Уточнение пара-

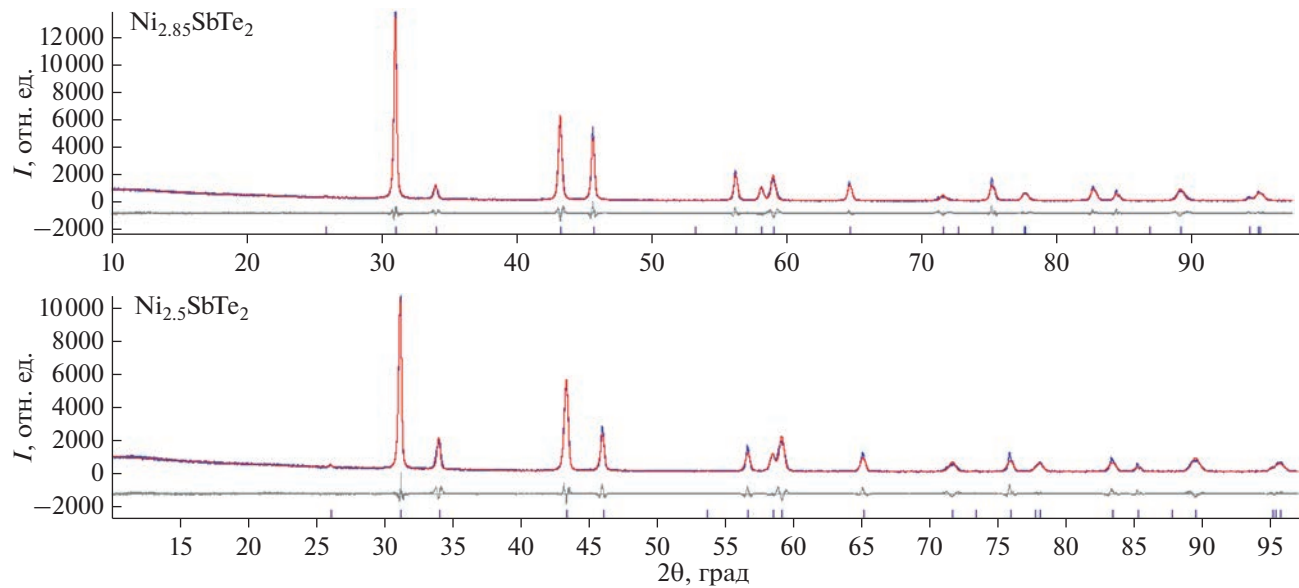


Рис. 4. Экспериментальные, расчетные и разностные профили рентгенограмм для $\text{Ni}_3 - x\text{SbTe}_2$, где $x = 0.15, 0.50$ (уточнение в рамках статистической модели заселения позиций Sb и Te).

метров атомного смещения проводили в изотропном приближении. Для позиций никеля, заселенность которых уточнялась, параметры атомного смещения были зафиксированы.

Для образцов $\text{Ni}_{2.50}\text{SbTe}_2$ и $\text{Ni}_{2.85}\text{SbTe}_2$ в соответствии с данными индицирования и отсутствием отражения около 9° 2θ смогли уточнить структуру, используя полнопрофильный метод Ритвельда, с удовлетворительными значениями факторов достоверности: $R_{\text{Bragg}} = 2.55\%$, $R_p = 6.86\%$, $R_{wp} = 9.78\%$ для первого соединения и $R_{\text{Bragg}} = 1.76\%$, $R_p = 6.25\%$, $R_{wp} = 8.75\%$ для второго (рис. 4). Составы при этом были уточнены как $\text{Ni}_{2.40(12)}\text{SbTe}_2$ и $\text{Ni}_{2.80(8)}\text{SbTe}_2$ соответственно. Однако для $\text{Ni}_{2.75}\text{SbTe}_2$ в рамках однофазного уточнения разностный профиль и высокие R -факторы указывали на неудовлетворительное описание.

В случае $\text{Ni}_{2.50}\text{SbTe}_2$ и $\text{Ni}_{2.75}\text{SbTe}_2$ наименьших значений R -факторов, существенно уменьшившихся по сравнению с однофазным уточнением, удалось достичь при двухфазном уточнении, где доминирующая фаза имеет структуру, основанную на Ni_2SbTe_2 , а примесная представляет собой простую структуру типа NiAs . При этом по рентгеновским данным невозможно установить, содержит ли вторая фаза сурьму. Однако, основываясь на данных мессбауэровской спектроскопии (см. ниже), где параметры спектров практически совпадают для Ni_2SbTe_2 и $\text{Ni}_{3-x}\text{SbTe}_2$, предполагаем, что только основная фаза содержит сурьму, а вторая является бинарным теллуридом $\text{Ni}_{0.8}\text{Te}$ со структурой NiAs . Кроме того, мы решили уточнить все структуры в рамках упорядоченной мо-

дели заселения позиций сурьмы и теллура, что вызывает необходимость утвоения параметра c по сравнению с со структурой NiAs . Очевидно, что такое упорядочение не может быть зафиксировано по рентгенографическим данным, а утвоение параметра c связано с упорядочением вакансий в позициях никеля, которое заметно для составов возле $x \sim 1$. На наш взгляд, такое представление имеет смысл по следующим причинам: а) близость параметров мессбауэровских спектров для всей серии указывает на одинаковое окружение сурьмы в Ni_2SbTe_2 и $\text{Ni}_{3-x}\text{SbTe}_2$; б) при увеличении содержания никеля мы фактически добавляем никель в структуру Ni_2SbTe_2 , где позиции сурьмы и теллура разделены. Логично было бы предположить, что они остаются разделенными и далее. На рис. 5 показаны экспериментальный, уточненный и разностный профили для $\text{Ni}_{3-x}\text{SbTe}_2$ в модели с разделением позиций сурьмы и теллура. Параметры уточнения и другие структурные параметры представлены в табл. 3–5. В табл. 3 для сравнения приведены параметры элементарной ячейки без утвоения с для $x = 0.25$ и 0.5 .

При сравнении структурных параметров Ni_2SbTe_2 , полученных с помощью порошковой ($a = 3.9076(5)$ Å, $b = 15.6742(1)$ Å) и монокристалльной рентгеновской дифракции ($a = 3.9030(9)$ Å, $c = 15.634(3)$ Å) [19], видно, что значительных отличий нет, параметры имеют одинаковые значения в пределах погрешности.

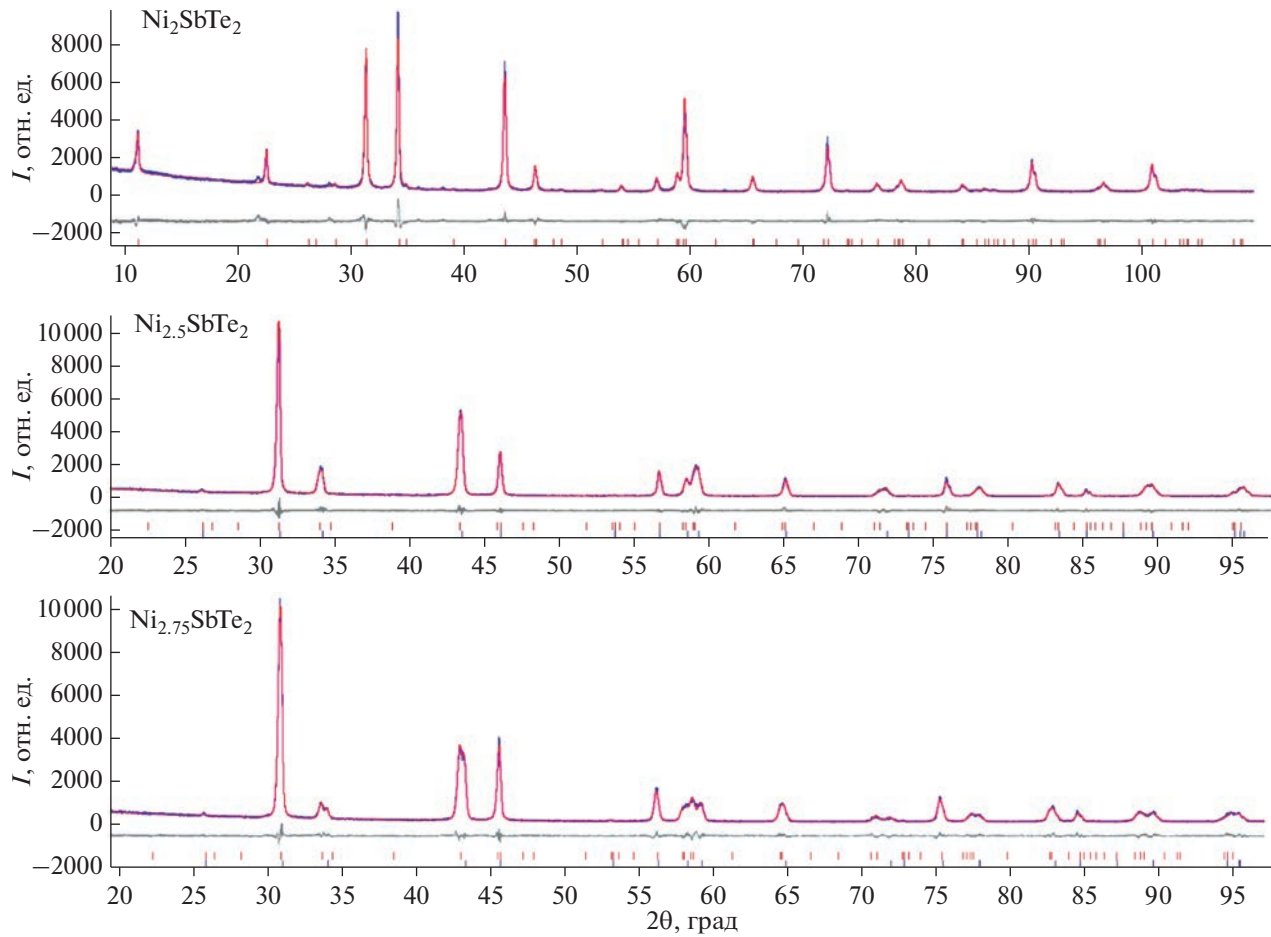


Рис. 5. Экспериментальные, расчетные и разностные профили рентгенограмм для $\text{Ni}_3 - x\text{SbTe}_2$, где $x = 1, 0.5, 0.25$ (уточнение в рамках упорядоченной модели заселения позиций Sb и Te).

Мессбауэровская спектроскопия образцов $\text{Ni}_3 - x\text{SbTe}_2$ и $\text{Ni}_3 - x\text{SnTe}_2$

Мессбауэровские спектры ^{121}Sb всех образцов серии $\text{Ni}_3 - x\text{SbTe}_2$ ($x = 0.25, 0.5, 0.75, 1$) содержат единственный синглет (или неразрешенный дублет, рис. 6). В случае состава Ni_2SbTe_2 это означает наличие только одной позиции никеля — Ni(1), при этом позиции Ni(2) и Ni(3) являются незаполненными. Как было упомянуто ранее, по данным рентгеновской дифракции для составов $\text{Ni}_3 - x\text{SbTe}_2$ ($x = 0.25, 0.5, 0.75$) пропадает упорядочение вакансий в позиции Ni(3). Присутствие в мессбауэровском спектре для всей серии единственного синглета (табл. 7) означает, что локальное окружение сурьмы не меняется по сравнению с таковым в Ni_2SbTe_2 и состоит из никеля в позиции Ni(1), а Ni(2) отсутствует. Переменная заселенность позиции Ni(3) не меняет ближайшее координационное окружение Sb. Наблюдаемые значения δ характерны для атомов Sb(0) в теллуридах сурьмы [30].

Картина локального окружения олова в зависимости от стехиометрии по никелю, по данным

мессбауэровской спектроскопии, заметно отличается от таковой для сурьмы (рис. 7). Анализ приведенных выше спектров $\text{Ni}_3 - x\text{SnTe}_2$ показал, что в Ni_3SnTe_2 , $\text{Ni}_{2.8}\text{SnTe}_2$ и $\text{Ni}_{2.6}\text{SnTe}_2$ атомы олова занимают две неэквивалентные позиции, характеризующиеся низкой симметрией локального окружения, о чем свидетельствует присутствие в спектре ^{119}Sn двух дублетов квадрупольного расщепления, обозначенных Дублет 1 и Дублет 2. Они соответствуют двум возможным вариантам окружения олова в гетерометаллическом слое: без дополнительной позиции никеля (тригональная призма) и с дополнительной позицией (трехшапочная тригональная призма, отвечает появлению фрагментов структуры типа Ni_2In). При увеличении общего содержания никеля наблюдается увеличение интенсивности Дублета 2. В случае самого обедненного состава Ni_2SnTe_2 Дублет 2 полностью отсутствует. Такое изменение мессбауэровских спектров ^{119}Sn можно объяснить тем, что в соединениях $\text{Ni}_3 - x\text{SnTe}_2$ при варьировании x от 1 до 0 сначала преимущественно происхо-

Таблица 3. Параметры уточнения структур $\text{Ni}_3-x\text{SbTe}_2$, где $x = 1, 0.5, 0.25$ по порошковым данным. Параметры ячеек даны как для упорядоченной (УМ), так и для статистической моделей (СМ) заселения позиций Sb и Te

Параметр	Ni_2SbTe_2	$\text{Ni}_{2.44(1)}\text{SbTe}_2^*$		$\text{Ni}_{2.75(2)}\text{SbTe}_2^*$			
Тип излучения	$\text{Cu}K_\alpha (\lambda = 1.54178 \text{ \AA})$						
Пр. гр.		$P6_3/mmc$					
$a, \text{\AA}$	3.9076(5)	УМ	3.9402(2)	УМ	3.9406(7)		
$c, \text{\AA}$	15.6742(1)	УМ	15.8349(4)	УМ	5.2494(1)		
$V, \text{\AA}^3$	207.273(6)	УМ	212.91(2)	УМ	70.595(3)		
Z		2					
Плотность, $\text{г}/\text{см}^3$	7.921(2)	8.115(15)		8.310(15)			
Коэффициент поглощения $\mu, \text{см}^{-1}$	22.32(2)	23.70(55)		17.36(27)			
Число уточняемых параметров	15	22		22			
$R_p/R_w/R_{\text{Bragg}}, \%$	5.91/7.88/2.90	5.08/6.76/1.07		4.92/6.47/1.50			

* Уточнение структуры приведено в сверхячейке NiAs с утроенным параметром c .

Таблица 4. Координаты атомов, заселенности позиций, значения параметров атомного смешения для $\text{Ni}_3-x\text{SbTe}_2$, где $x = 1, 0.5, 0.25$

Атом	Кратность позиции	x/a	y/b	z/c	Заселенность позиции	$B_{\text{iso}}, \text{\AA}^2$
Ni_2SbTe_2						
Ni(1)	$4e$	0	0	0.16652(9)	1	0.44(5)
Sb	$2c$	1/3	2/3	1/4	1	1.13(5)
Te	$4f$	1/3	2/3	0.58639(5)	1	0.98(4)
$\text{Ni}_{2.44(1)}\text{SbTe}_2$						
Ni(1)	$4e$	0	0	1/2	0.441(16)	1
Ni(3)*	$2a$	0	0	0.1671(4)	1	2.08(12)
Sb	$2c$	1/3	2/3	1/4	1	1.3(2)
Te	$4f$	1/3	1/6	0.5839(2)	1	0.97(10)
$\text{Ni}_{2.75(2)}\text{SbTe}_2$						
Ni(1)	$4e$	0	0	1/2	0.749(17)	1
Ni(3)*	$2a$	0	0	0.1584(4)	1	1.41(10)
Sb	$2c$	1/3	2/3	1/4	1	0.98(13)
Te	$4f$	1/3	2/3	0.5821(2)	1	0.54(7)

* Нумерация кристаллографических позиций дается в соответствии с рис. 1.

Таблица 5. Значения основных межатомных расстояний в $\text{Ni}_3-x\text{SbTe}_2$, где $x = 1, 0.5, 0.25$

Связь	Межатомное расстояние, \AA	Связь	Межатомное расстояние, \AA
Ni_2SbTe_2			
Ni(1)–Ni(1)	2.639	Ni(1)–Sb	2.613
Ni(1)–Ni(1)	3.907	Ni(1)–Te	2.569
$\text{Ni}_{2.44(1)}\text{SbTe}_2$			
Ni(1)–Ni(1)	3.940	Ni(3)–Sb	2.626
Ni(1)–Ni(3)	2.646	Ni(1)–Te	2.629
Ni(3)–Ni(3)	2.625	Ni(3)–Te	2.629
Ni(3)–Ni(3)	3.940		
$\text{Ni}_{2.75(2)}\text{SbTe}_2$			
Ni(1)–Ni(1)	3.955	Ni(3)–Sb	2.707
Ni(1)–Ni(3)	2.515	Ni(1)–Te	2.630
Ni(3)–Ni(3)	2.908	Ni(3)–Te	2.585
Ni(3)–Ni(3)	3.956		

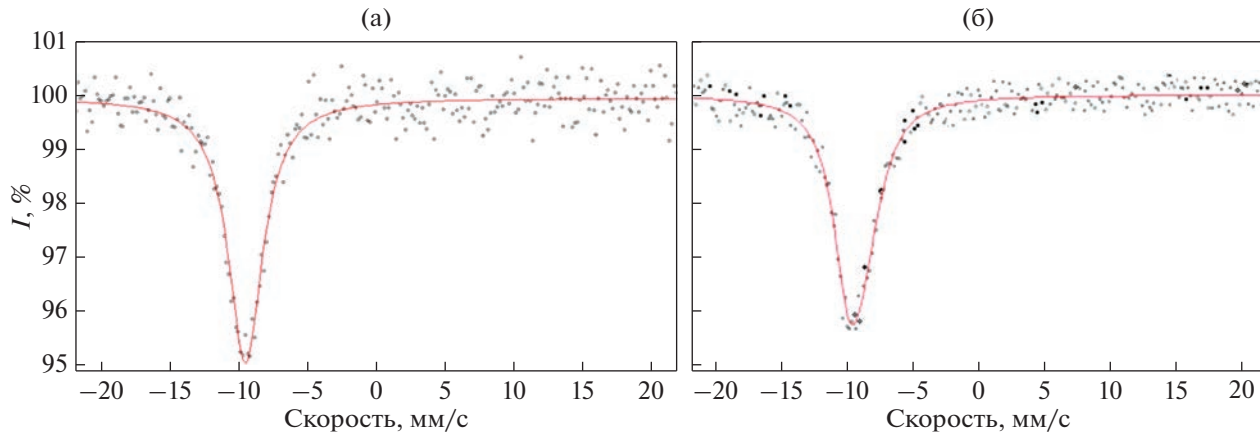


Рис. 6. Мессбауэровские спектры ^{121}Sb образцов Ni_2SbTe_2 (а) и $\text{Ni}_{2.75}\text{SbTe}_2$ (б).

дит заполнение ван-дер-ваальсовой щели атомами Ni, а при достижении определенного значения x ($x \sim 0.3$ – 0.4) начинается постепенное заполнение дополнительной позиции никеля в гетерометаллическом слое – Ni(2). В результате в соединении состава Ni_3SnTe_2 позиция Ni в ван-дер-ваальсовой щели будет иметь заселенность $\sim 70\%$, а дополнительная позиция в гетерометаллическом слое будет заполнена на $\sim 30\%$, соотношение заселенности Ni(2) и Ni(3) в Ni_3SnTe_2 оказывается обратным соотношению в галлиевых соединениях. Кроме того, позиция Ni(3) остается частично заполненной даже в случае самого обедненного состава.

Таблица 6. Значения основных межатомных расстояний в Ni_2SbTe_2 [19]

Связь	Межатомное расстояние, Å
Ni–Ni	2.612
Ni–Sb	2.607
Ni–Te	2.583

Таблица 7. Значения изомерного сдвига δ и полной ширины на полувысоте 2Γ пика резонансного поглощения в мессбауэровских спектрах ^{121}Sb образцов системы Ni–Sb–Te

Состав	δ , мм/с	2Γ , мм/с*
$\text{Ni}_{2.0}\text{SbTe}_2$	-9.6 ± 0.1	3.3 ± 0.2
$\text{Ni}_{2.25}\text{SbTe}_2$	-9.5 ± 0.1	3.4 ± 0.2
$\text{Ni}_{2.50}\text{SbTe}_2$	-9.6 ± 0.1	3.1 ± 0.2
$\text{Ni}_{2.75}\text{SbTe}_2$	-9.6 ± 0.1	3.0 ± 0.2

* Значения 2Γ несущественно превышают естественную ширину линии ($2\Gamma_{\text{нат}} = 2.1$ мм/с) для мессбауэровского перехода на ядрах ^{121}Sb , что позволяет считать их квадрупольные взаимодействия в указанных соединениях пренебрежимо слабыми.

Таким образом, ключевые различия между сурьма- и оловосодержащими соединениями заключаются в том, что для $\text{Ni}_{3-x}\text{SnTe}_2$ никель при изменении x от 1 до 0 распределяется по трем возможным позициям, две из которых характеризуются наличием упорядоченных вакансий и дают максимальную суммарную заселенность, равную 1, в то время как для $\text{Ni}_{3-x}\text{SbTe}_2$ при x , отличном от ~ 0.9 – 1.0 , упорядочение вакансий пропадает. Кроме того, упорядочение вакансий пропадает даже для Ni_2SbTe_2 при нагреве выше 600°C . Однако оно возникает снова при охлаждении того же образца, что предполагает динамическую миграцию атомов никеля по вакансиям.

ЗАКЛЮЧЕНИЕ

Высокотемпературным ампульным синтезом получены серии фаз $\text{Ni}_{3-x}\text{MTe}_2$ ($M = \text{Sb}, \text{Sn}$). Указанные фазы охарактеризованы методами порошковой рентгеновской дифракции как принадлежащие к структурному типу B8 с ячейкой на основе типа NiAs или гексагонального гибрида NiAs/Ni₂In. С использованием мессбауэровской спектроскопии на ядрах ^{121}Sb и ^{119}Sn изучена локальная структура и мотив упорядочений вакансий никеля в данных фазах. Показано, что ключевые различия между сурьма- и оловосодержащими соединениями заключаются в том, что для $\text{Ni}_{3-x}\text{SnTe}_2$ никель при изменении x от 1 до 0 распределяется по трем возможным позициям, упорядочение вакансий в которых обуславливает утройство ячейки по c относительно простого типа NiAs/Ni₂In, в то время как для $\text{Ni}_{3-x}\text{SbTe}_2$ при x , отличном от ~ 0.9 – 1.0 , упорядочение вакансий пропадает, а структура может быть формально описана в рамках неупорядоченной модели заселения позиций непереходных элементов. Кроме того, установлена термическая зависимость существования упорядочения вакансий для Ni_2SbTe_2 , которое пропа-

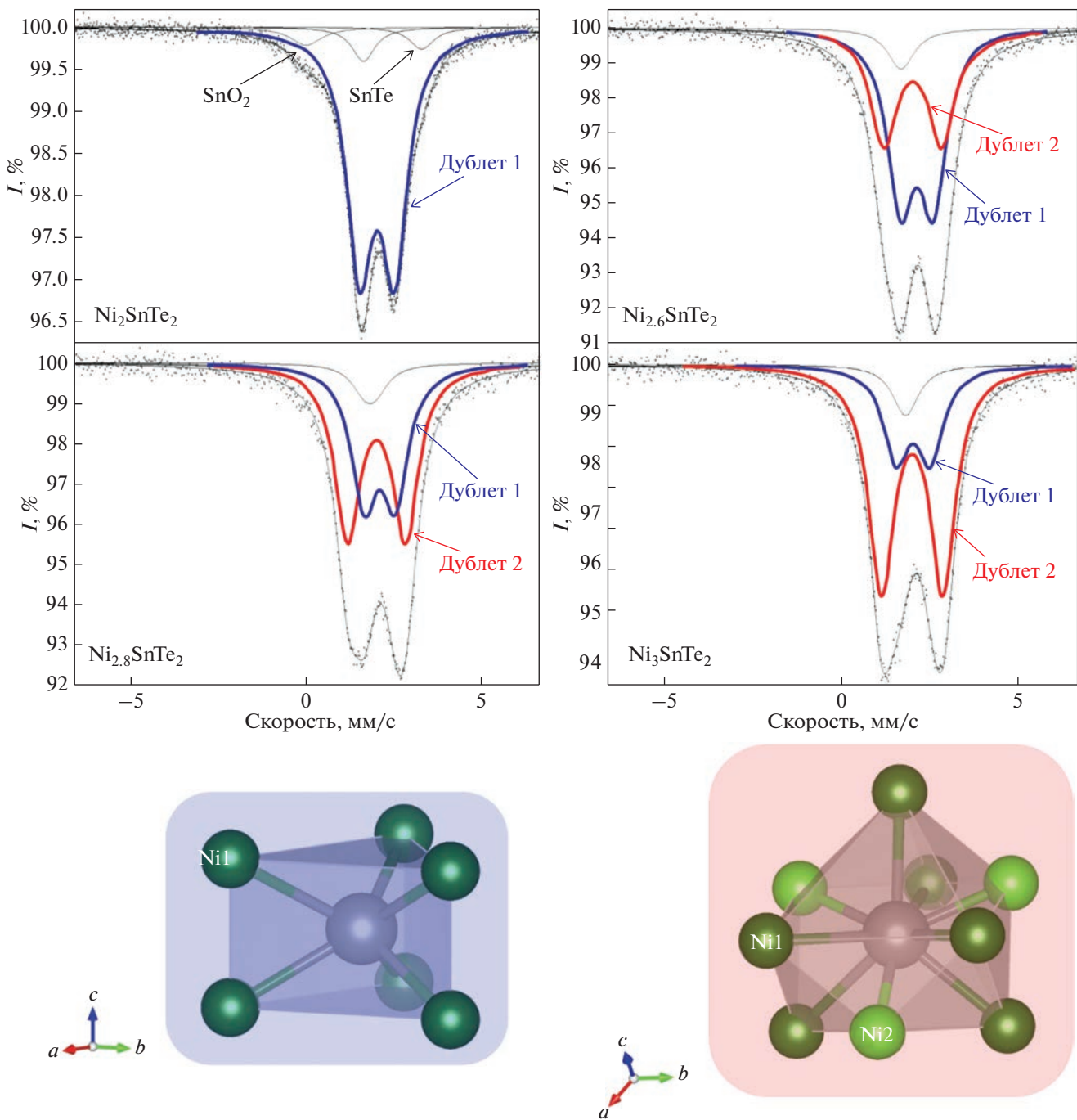


Рис. 7. Мессбауэровские спектры ^{119}Sn $\text{Ni}_{3-x}\text{SnTe}_2$ и возможные варианты окружения олова в структуре.

Таблица 8. Значения изомерного сдвига δ и квадрупольного расщепления ΔE_Q для мессбауэровских спектров ^{119}Sn $\text{Ni}_{3-x}\text{SnTe}_2$

Состав		Ni_2SnTe_2	$\text{Ni}_{2.6}\text{SnTe}_2$	$\text{Ni}_{2.8}\text{SnTe}_2$	Ni_3SnTe_2
Дублет 1	δ , мм/с	2.05	2.10	2.08	2.01
	ΔE_Q , мм/с	0.99	0.92	0.89	0.97
	A , %	86	55	40	26
Дублет 2	δ , мм/с	—	1.98	1.99	1.98
	ΔE_Q , мм/с	—	1.62	1.65	1.73
	A , %	—	38	53	66

дает при нагреве выше 600°C и возникает вновь при охлаждении образца.

ФИНАНСИРОВАНИЕ РАБОТЫ

Работа выполнена при поддержке РФФИ (грант 20-33-90209 Аспиранты). Рентгенографические исследования выполнены при поддержке Программы развития МГУ.

КОНФЛИКТ ИНТЕРЕСОВ

Авторы заявляют об отсутствии конфликта интересов.

СПИСОК ЛИТЕРАТУРЫ

1. *Reynolds T.K., Bales J.G., DiSalvo F.J.* // Chem. Mater. 2002. V. 14. P. 4746.
<https://doi.org/10.1021/cm020585r>
2. *Kuznetsov A.N., Serov A.A.* // Eur. J. Inorg. Chem. 2016. V. 3. P. 373.
<https://doi.org/10.1002/ejic.201501197>
3. *Исаева А.А., Баранов А.И., Доэрт Т. и др.* // Изв. АН. Сер. химическая. 2007. Т. 56. № 9. С. 1632.
4. *Isaeva A.A., Baranov A.I., Kloo L. et al.* // Solid State Sci. 2009. V. 11. P. 1071.
<https://doi.org/10.1016/j.solidstatesciences.2009.03.005>
5. *Baranov A.I., Isaeva A.A., Kloo L. et al.* // Inorg. Chem. 2003. V. 42. P. 6667.
<https://doi.org/10.1002/chin.200352007>
6. *Baranov A.I., Isaeva A.A., Kloo L. et al.* // J. Solid State Chem. 2004. V. 177. P. 3616.
<https://doi.org/10.1016/j.jssc.2004.05.061>
7. *Isaeva A.A., Baranov A.I., Doert Th. et al.* // J. Solid State Chem. 2007. V. 180. P. 221.
<https://doi.org/10.1016/j.jssc.2006.09.003>
8. *Stroganova E.A., Kazakov S.M., Khrustalev V.N. et al.* // J. Solid State Chem. 2022. V. 306. P. 122815.
<https://doi.org/10.1016/j.jssc.2021.122815>
9. *Stroganova E.A., Kazakov S.M., Efimov N.N. et al.* // Dalton Trans. 2020. V. 49. P. 15081.
<https://doi.org/10.1039/D0DT03082A>
10. *Kuznetsov A.N., Stroganova E.A., Zakharova E.Yu.* // Russ. J. Inorg. Chem. 2019. V. 64. № 13. P. 1625.
<https://doi.org/10.1134/S0036023619130059>
11. *Kuznetsov A.N., Stroganova E.A., Serov A.A. et al.* // J. Alloys Compd. 2017. V. 696. P. 413.
<https://doi.org/10.1016/j.jallcom.2016.11.292>
12. *Литвиненко О.Н., Кузнецов А.Н., Оленев А.В. и др.* // Изв. АН. Сер. химическая. 2007. Т. 56. № 10. С. 1879.
13. *Isaeva A.A., Makarevich O.N., Kuznetsov A.N. et al.* // Eur. J. Inorg. Chem. 2010. P. 1395.
<https://doi.org/10.1002/ejic.200901027>
14. *Larsson A.-K., Noren L., Withers R.L. et al.* // J. Solid State Chem. 2007. V. 180. P. 2723.
<https://doi.org/10.1016/j.jssc.2007.07.020>
15. *Noren L., Withers R.L., Brink F.J.* // J. Alloys Compd. 2003. V. 353. P. 133.
[https://doi.org/10.1016/S0925-8388\(02\)01309-9](https://doi.org/10.1016/S0925-8388(02)01309-9)
16. *Deiseroth H.-J., Aleksandrov K., Reiner C. et al.* // Eur. J. Inorg. Chem. 2006. V. 8. P. 1561.
<https://doi.org/10.1002/ejic.200501020>
17. *Deiseroth H.-J., Spirovski F., Reiner C. et al.* // Z. Kristallogr. New Crystal Structures. 2007. V. 222. P. 169.
<https://doi.org/10.1524/zkri.2007.0070>
18. *Dankwort T., Doppel V., Deiseroth H.-J. et al.* // Semicond. Sci. Technol. 2016. V. 31. P. 7.
<https://doi.org/10.1088/0268-1242/31/9/094001>
19. *Reynolds T.K., Kelley R.F., DiSalvo F.J.* // J. Alloys Compd. 2004. V. 366. P. 136.
<https://doi.org/10.1016/j.jallcom.2003.07.008>
20. *Бузанов Г.А., Строганова Е.А., Быков А.Ю. и др.* // Журн. неорган. химии. 2022. Т. 67. № 5. С. 569.
21. *Kuznetsov A.N., Stroganova E.A., Zakharova E.Yu. et al.* // J. Solid State Chem. 2017. V. 250. P. 90.
<https://doi.org/10.1016/j.jssc.2017.03.020>
22. *Laufek F., Drábek M., Skála R. et al.* // Can. Mineral. 2007. V. 45. P. 1213.
<https://doi.org/10.2113/gscanmin.45.5.1213>
23. Bruker AXS Topas V4.2: General profile and structure analysis software for powder diffraction data. Karlruhe, 2009.
24. *Николаев В.И., Русаков В.С.* Мессбауэровские исследования ферритов. М.: Изд-во МГУ, 1985. 224 с.
25. *Русаков В.С.* Мессбауэровская спектроскопия локально неоднородных систем. Алматы, 2000. 431 с.
26. *Русаков В.С.* // Изв. РАН. Сер. физическая. 1999. Т. 63. № 7. С. 1389.
27. *Rusakov V.S., Kadyrzhanov K.K.* // Hyperfine Interact. 2005. V. 164. P. 87.
<https://doi.org/10.1007/s10751-006-9236-2>
28. *Захарова Е.Ю., Маханёва А.Ю., Казаков С.М. и др.* // Журн. неорган. химии. 2019. Т. 64. № 12. С. 1250.
29. *Федоров П.П., Попов А.А., Шубин Ю.В. и др.* // Журн. неорган. химии. 2022. Т. 67. № 12. С. 1805.
30. *Lippens P.E.* // Solid State Commun. 2000. V. 113. P. 399.
[https://doi.org/10.1016/S0038-1098\(99\)00501-3](https://doi.org/10.1016/S0038-1098(99)00501-3)